

Photodegradation of the Herbicide 2,4-Dichlorophenoxyacetic Acid in the Presence of TiO₂ and P25/βCD Nano Photocatalysts in the Photoreactor

Sorur Safa^{1,2}, Majid Mirzaei³

1. Ph.D student of Environmental Health Engineering, International Campus of Shahid Sadoughi University of Medical Sciences, Yazd, Iran., (Corresponding Author), Tel: +9824-33414386, Email: sorur.safa@gmail.com, ORCID ID: 0000-0002-0954-2469
2. Student Research Committee, Shahid Sadoughi University of Medical Sciences, Yazd, Iran.
3. MSc of Photonics, Department of Physics, Institute for Advanced Studies in Basic Sciences (IASBS), Zanjan, Iran. ORCID ID: 0000-0003-3573-6985

ABSTRACT

Background and Aim: The dichlorophenoxyacetic acid (2,4-D) is common and toxic herbicide used around the world to control wide leaf weeds present in cereal crops. This herbicide is resistant to biodegradation and chemical degradation in the environment. The main purpose of this study is synthesis and optimizing of titania nanoparticles and evaluating their effectiveness in photodegradation of 2,4-D from aqueous solutions in both batch and flow photoreactors including light emitting diod (LED).

Materials and Methods: The First, the P25/βCD nano photocatalst was synthesized and then its efficiency in the 2,4-D photo degradation was compared with commercial P25 nanophotocatalyst in both of the batch and flow photoreactors. Effective parameters include; the effects of nanocatalyst dose, select the best bed of catalyst, the β-CD amount on bed catalyst, irradiation time, kind of photoreactor on the photocatalytic degradation efficiency were investigated. The degradation was monitored using a UV-Vis spectrophotometer in 2,4-D absorption band at 284 nm.

Results: The optimum amount of P25, P25/β-CD nano photocatalysts were 1 and 0.1 g/L, respectively. In batch photoreactor the photodegradation efficiency of 2,4-D after 5 h with P25 and P25/β-CD as a photocatalyst were approximately 81 and 85% respectively. Also, in flow photoreactor 2,4-D degradation yeild after 5 h in presence of P25 and P25/β-CD nano photocatalysts were 88.8 and 90.4% respectively. Also, after 5 consecutive periods of irradiation, photodegradation efficiency in presence of P25 and P25/β-CD nano photocatalysts were maintained 82.6 and 84%, respectively which indicates their remarkable stability.

Conclusion: The using of photodegradation process for the removal of organic pollutants, such as herbicides from aqueous solutions, is successful.

Keywords: 2,4-Dichlorophenoxyacetic Acid Herbicide, P25 and P25/β-CD Nano Photocatalysts, LED, Batch-mode Photoreactor, Flow-mode Photoreactor

Received: Feb 16, 2019

Accepted: Dec 23, 2019

How to cite the article: Sorur Safa, Majid Mirzaei. photodegradation of 2,4dichlorophenoxyacetic acid in the presence of TiO₂ and P25/βCD nano photocatalysts in the photoreactor SJKU 2020;25(2):93-111.

تخریب نوری آفتکش ۲و۴-دی کلروفنوکسی استیک اسید در حضور TiO_2 و $\text{P25}/\beta\text{CD}$ نانو نورکاتالیزگر در راکتور نوری

سرو رضا^{۱،۲}، مجید میرزا^۳

- دانشجوی دکترای مهندسی بهداشت محیط، دانشکده بین الملل دانشگاه علوم پزشکی شهید صدوqi بیزد، بیزد، ایران (نویسنده مسئول)، تلفن ثابت: ۰۲۴-۳۳۴۱۴۳۸۶، پست: ۰۰۰۰۰۰۲-۰۹۵۴-۲۴۶۹، کد ارکید: sorur.safa@gmail.com
- کمیته تحقیقات دانشجویی، دانشگاه علوم پزشکی و خدمات بهداشتی درمانی شهید صدوqi بیزد، بیزد، ایران.
- کارشناسی ارشد فوتونیک، دانشکده فنی و مهندسی، دانشگاه تکمیلی علوم پایه زنجان، زنجان، ایران. کد ارکید: ۰۰۰۰۳-۳۵۷۳-۶۹۸۵

چکیده

زمینه و هدف: ۲و۴-دی کلروفنوکسی استیک اسید یک علف کشن معروف و سمی است که به طور گسترده‌ای برای از بین بردن علف‌های هرز پهنه برگ در محصولات غلات استفاده می‌شود. این علف کشن در برابر تجزیه بیولوژیکی و شیمیایی در محیط زیست مقاوم است. هدف از این مطالعه، سنتز و بهینه‌سازی نانو ذرات تیتانیا در تخریب نوری ۲و۴-دی کلروفنوکسی استیک اسید از محلول‌های آبی در هر دو راکتور نوری جریان ناپیوسته (batch) و جریان پیوسته (flow) شامل دایودهای ساطع‌کننده نوری (LED) است.

مواد و روش‌ها: ابتدا نانو نورکاتالیزگر $\text{P25}/\beta\text{CD}$ سنتز شد و سپس کارایی آن در تخریب نوری ۲و۴-دی کلروفنوکسی-استیک اسید با نانو نورکاتالیزگر تجاری P25 در هر دو راکتور نوری با جریان ناپیوسته و پیوسته مقایسه شد. پارامترهای تأثیرگذار شامل دوز نانو نورکاتالیزگر، انتخاب نانو نورکاتالیزگر مناسب، مقدار اولیه $\beta\text{-CD}$ بر روی بستر نانو نورکاتالیزگر، زمان نوردی و نوع راکتور نوری بررسی شدند. ارزیابی بازده تخریب نوری، با بازده جذب هر نمونه با اسپکتروفوتومتر UV-VIS در طول موج ۲۸۴ نانومتر انجام شد.

یافته‌ها: مقدار بهینه نانو نورکاتالیزگر P25 و $\text{P25}/\beta\text{-CD}$ به ترتیب 1 g/L و 0.1 g/L بود. بازده تخریب نوری ۲و۴-دی-کلروفنوکسی استیک اسید در راکتور نوری با جریان ناپیوسته در مدت زمان بهینه ۵ ساعت به ترتیب $81\text{ و }85\text{ درصد}$ بود. این بازده در راکتور جریان پیوسته، در مدت زمان ۵ ساعت در حضور نانو نورکاتالیزگر P25 و $\text{P25}/\beta\text{-CD}$ به ترتیب $88\text{ و }90\%$ درصد به دست آمد. همچنین پس از ۵ دوره متوالی از کاربرد نانو نورکاتالیزگرهای، بازده تخریب نوری در حضور P25 و $\text{P25}/\beta\text{-CD}$ به ترتیب $82\text{ و }84\text{ درصد}$ به دست آمد که نشان‌دهنده پایداری قابل توجه آن‌ها است.

نتیجه‌گیری: فرآیند تخریب نوری برای حذف آلاینده‌های آلی همچون علف کشن‌ها از محیط‌های آبی کاربرد موفقیت‌آمیزی دارد.

کلمات کلیدی: علف کشن ۲و۴-دی کلروفنوکسی استیک اسید، نانو نورکاتالیزگرهای P25 و $\text{P25}/\beta\text{-CD}$ ، راکتور نوری جریان ناپیوسته، راکتور نوری جریان پیوسته وصول مقاله: ۹۷/۱۱/۲۷ اصلاحیه نهایی: ۹۸/۸/۲۵ پذیرش: ۹۸/۱۰/۲

یک جفت الکترون- حفره است که در نتیجه تماس با منبع نور (به طور مثال اشعه UV) حاصل می شود. حفره های الکترونی می توانند الکترون ها را از مواد یا از محلولی که درون آن هستند، بگیرند. لذا موادی که توانایی جذب نور دارند فعال شده و اکسید می شوند(۱۱). نور کاتالیزگر به کار رفته در این تحقیق تیتانیوم دی اکسید است که به علت ارزان قیمت بودن، عدم سمیت، فعالیت بالا و پایداری شیمیایی و بیولوژیکی بالا تحت شرایط نوردهی، مورد توجه بسیار بوده و یکی از پر کاربردترین نیمه رساناهای مورد استفاده است(۱۲). تیتانیوم دی اکسید از نظر ساختاری به سه فرم آناتاز، روئیل و بروکیت وجود دارد(۱۳، ۱۴). گاف انرژی TiO_2 - $3/2 \text{ eV}$ بسته به ساختار و اندازه ذرات در محدوده $3/2 \text{ eV}$ است. TiO_2 تجاری مورد استفاده (P25) دارای گاف انرژی $3/2 \text{ eV}$ است که برابر با انرژی فوتون های با طول موج 385 nm است(۱۵). دیود ساطع کننده نوری (LED) گزینه مناسبی برای منبع نور است که با مصرف انرژی پایین در واکنش های فتو کاتالیستی استفاده می گردد(۱۶-۱۸).

مزایای عمدی استفاده از این لامپ ها عبارت اند از: ارزان قیمت، سازگار با محیط، بازده بالای فوتون، ولتاژ الکتریستیه پایین، پایداری توان، امکان انتشار در طول موج های گسترشده تر (مادون قرمز، نور مریبی و فرابنفش نزدیک) و عدم نیاز به خنک سازی در طول مدت زمان طولانی فرآیند برای معدنی سازی کامل آلاینده ها(۱۹). β -سیکلولد کسترن یک الیگوساکارید حلقوی دارای یک حفره هیدروفوبی است و این توانایی را دارد که با مولکول های آلی ارتباط برقرار نموده و کمپلکس ایجاد کند(۲۰). هدف از پژوهش حاضر سنتز و بهینه سازی کاربرد نانو ذرات تیتانیا در تخریب نوری سم او-۴- دی کلروفنوكسی استیک اسید از محلول های آبی است؛ که در هر دو راکتور نوری ناپیوسته (flow) و پیوسته (batch) انجام شد. ضمن انجام فرآیند تخریب در راکتور نوری پیوسته، برای پایش لحظه به لحظه تمامی پارامترهای مؤثر بر واکنش، راکتور به کامپیوتر متصل شد. برای تشخیص میزان حذف آلاینده مورد نظر از سنجش

مقدمه

امروزه با توجه به افزایش جمعیت؛ گسترش صنایع مختلف، تولید ترکیبات جدید، افزایش تولیدات صنعتی، باعث پدیدار شدن آلاینده های جدید و نوظهور شده است که اغلب آنها به تجزیه زیستی مقاوم می باشند. که این امر خود می تواند باعث آلودگی زیست محیطی و تغییر اکو سیستم زیستی شود. یکی از آلاینده های مقاوم به تجزیه که با رشد صنعتی میزان مصرف و همچنین نوع مواد تشكیل دهنده آنها زیاد شده است آفت کش ها می باشند(۱). او-۴- دی کلروفنوكسی استیک اسید یک علف کش معروف و سمی از گروه فنوكسی استیک اسیدها با ویژگی های آروماتیکی ضعیف بوده که در سراسر جهان به طور گسترشده ای برای از بین بردن علف های هرز پهنه برگ در کشتزارهای برنج، گندم و ذرت و همچنین در پارک ها و مراتع استفاده می شود. آژانس حفاظت محیط زیست آمریکا حد مجاز این علف کش را در آب آشامیدنی 0.1 ppm بیان کرده است(۲). سازمان بهداشت جهانی مقدار $70 \text{ } \mu\text{g/L}$ را به عنوان حداکثر غلظت مجاز او-۴- دی کلروفنوكسی استیک اسید برای آب آشامیدنی بیان کرده است(۳). این سازمان علف کش مذکور را در زمرة آلاینده سلطان زا گروه II در نظر می گیرد(۴). به دلیل پایداری شیمیایی و بیولوژیکی این سم کاربرد روش های شیمیایی- بیولوژیکی نتیجه مطلوبی ندارند(۶، ۵). در سال های اخیر فرآیندهای اکسیداسیون پیشرفتی برای تجزیه و حذف این سم به کار رفته است(۸، ۷). اکسیداسیون فتو کاتالیستی آفت کش ها در دهه های اخیر مورد توجه قرار گرفته است(۶). تجزیه نوری یکی از مکانیسم های طبیعی و اقتصادی است و در زمرة فرآیندهای اکسیداسیون پیشرفتی (AOP) جهت تصفیه مواد گزنو بیوتیک در فاصلاب مانند آفت کش ها و پلی کلرو بی- فنیل ها است. در دهه های اخیر بحران جدی و فرا اینده انرژی منجر به تحقیقات وسیعی در زمینه تبدیل انرژی نوری به انرژی شیمیایی با فرآیندهای فتو کاتالیستی گردید(۱۱-۷). فعالیت فتو کاتالیستی (PCA) توانایی یک ماده در ایجاد

شد. تصاویر میکروسکوپ الکترونی عبوری (TEM) توسط دستگاه Philips CM-120 ساخت کشور هلند در ولتاژ ۱۲۰ keV گرفته شدند. صحت تشکیل محصولات توسط طیف‌سنجی فروسرخ با استفاده از دستگاه FT-IR Bruker vector NMR و از بررسی طیف‌های گرفته شده توسط دستگاه Bruker 400 MHz دو تریم دار بررسی شده و در موارد لازم از آب کلروفوم دو تریم دار بررسی شده و در موارد لازم از آب دو تریم دار نیز استفاده شده است. آنالیز وزن سنجی حرارتی (TGA) و آنالیز حرارتی افتراقی (DTA) با استفاده از دستگاه STA 409 PC/4/H LUXX NETZSCH ساخت کشور آلمان انجام گرفت.

آزمایش‌های جذب-واجدب نیتروژن با به کارگیری دستگاه Belsorp-mini-BEL.Inc ساخت کشور ژاپن، در دمای ۷۷ K صورت گرفت. لازم به ذکر است که قبل از انجام این آزمایش، همه نمونه‌ها به مدت ۱۲ ساعت در دمای ۳۷۳ K تخلیه گازی شدند. مساحت سطح با استفاده از روش BET و توزیع اندازه حفرات از طریق شاخه جذبی منحنی جذب-واجدب نیتروژن با به کارگیری روش BJH تعیین شد. جهت خشک کردن مواد تهیه شده نیز از آون Heraeus استفاده گردید.

P25/βCD دستور کار سنتز نانو ذرات

در یک بالن پیرکس ۲۵ میلی‌لیتری ته گرد، مقدار ۱۰ میلی‌لیتری آب تقطیر شده و نسبت‌های مختلف سیکلودکسترین در محدوده ۲۰-۵ میلی‌گرم (نسبت مولی ۴-۲) کلروفونوکسی‌استیک‌اسید به سیکلودکسترین ۱ به ۱، ۱/۵ به ۲ و ۱ به ۲/۵) ریخته و مقدار ۵۰ میلی‌گرم تیتانیا P25 به آن اضافه شد و به مدت ۱۵ دقیقه تحت امواج فرماصوت قرار داده شد. سپس درب واکنش به خوبی بسته و سپس تحت تابش لامپ LED ۲۰ وات با طول موج ۴۰۰ نانومتر به مدت ۱۲ تا ۱۴ ساعت قرار گرفت. pH در ابتدا حدود ۷ و با گذشت زمان به ۴ تغییر کرد؛ بنابراین با گذشت زمان ترکیبی از P25/β-CD در محلول واکنش ایجاد شد.

فتوتمتری استفاده شد که در حضور انواع لامپ‌های LED مورد مطالعه قرار گرفت.

مواد و روش‌ها

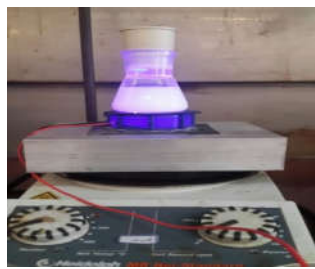
این تحقیق یک مطالعه تجربی-کاربردی است که در مقیاس آزمایشگاهی در آزمایشگاه شیمی آلی ۴ دانشکده شیمی دانشگاه تحصیلات تکمیلی علوم پایه زنجان انجام شده است. مراحل انجام تحقیق به شرح ذیل است.

مواد شیمیایی و وسائل مورد استفاده

تمام مواد و واکنشگرهای مورد استفاده از شرکت‌های تولید کننده مواد شیمیایی مرک (Merck)، فلوکا (Fluka) و آلدريچ (Aldrich) خریداری گردید. برای اطمینان از پراکندگی یکنواخت نانو ذرات مصرفی در محلول واکنش از حمام فراصوت E Euronda S.P.A مدل ۴D از kHz Vicenza شرکت ساخت کشور ایتالیا با فرکانس ۳۵ و توان 150 W cm^{-2} که دارای دو مبدل فراصوت در زیر مخزن استیلی ظرف حمام است، استفاده گردید. لامپ-های LED مورد استفاده در این پروژه شامل LED های با طول موج‌های ۳۶۵ و ۴۰۰ نانومتر با توان‌های ۱۰ و ۲۰ وات با شدت تابش 100 mW/cm^2 همگی از شرکت HP Star خریداری گردید. از فیلترهای سرسرنگی (USP C.A. ۰.۲۲ μm) ساخت شرکت سارتریوس آلمان برای صاف-سازی نمونه‌ها بعد از انجام واکنش استفاده گردید. به منظور اندازه‌گیری میزان این علف‌کش، میزان جذب محلول‌های سنتیک حاوی این ماده قبل و بعد از انجام آزمایش‌ها توسط آپکتروفتومنتر جذبی UV-Vis شرکت Pharmacia Biotech آلمان مدل Ultrospec 3100 اندازه‌گیری شدند. جهت اندازه‌گیری تغییرات pH حاصل از سنتز نانو ذرات P25/β-CD و رسیدن به pH محدوده ۳-۴ که نشان از ساخته شدن آن بود از pH متر Metrohm مدل ۸۲۶ UV-Vis ساخت کشور سوئیس استفاده گردید. طیف سنجی کاتالیزوگرهای نوری تهیه شده با استفاده از دستگاه طیف سنجی مدل Cary-5 VARIAN گرفته

جهت تخریب نوری سم ۲ و ۴ دی کلرو فنوکسی استیک اسید از دو راکتور batch و flow به طور جداگانه استفاده گردید.

راکتور نوری جریان ناپیوسته (batch-mode) این راکتور شامل لامپ LED با طول موج ۴۰۰ نانومتر و توان ۲۰ وات است که روی هیت سینک نشانده شده است (شکل ۱). برای جلوگیری از تابش نور به بیرون از فویل آلومینیومی استفاده شد. برای به حداقل رساندن افزایش دمای واکنش از یک فن کوچک در کنار هیت سینک استفاده شد. این یکی از مزایای استفاده از لامپ LED برای تخریب نوری آلاینده است که با گذشت مدت زمان طولانی، دمای محلول واکنش به کمک یک فن کوچک در حد دمای محیط باقی میماند و مانند لامپ‌های جیوه‌ای یا زنونی دمای بالا ایجاد نمی‌کنند.



شکل ۱. راکتور نوری با جریان ناپیوسته (batch)

راکتور نوری جریان پیوسته (flow-mode) این راکتور شامل یک ارلن به گنجایش ۵۰۰ میلی لیتر که روی هیتر استیرر قرار گرفته به همراه یک پمپ مگنتیک برای پمپاز محلول داخل ارلن به محافظه واکنش است. محافظه واکنش شامل منبع نوردهی است که این منبع مجموعه‌ای از دیودهای پرتوان که شامل ۲۰ عدد دیود ۳ وات ۴۰۰-۳۶۵ نانومتر که ولتاژ مصرفی هر کدام ۳/۲ ولت و جریان مصرفی ۶۰۰ میلی آمپر است به علاوه‌ی ۴ عدد دیود ۱۰ وات ۴۰۰-۳۶۵ نانومتر با ولتاژ مصرفی ۱۲-۱۵ ولت و جریان مصرفی ۹۰۰ میلی آمپر است. هر ۵ عدد دیود ۳ وات

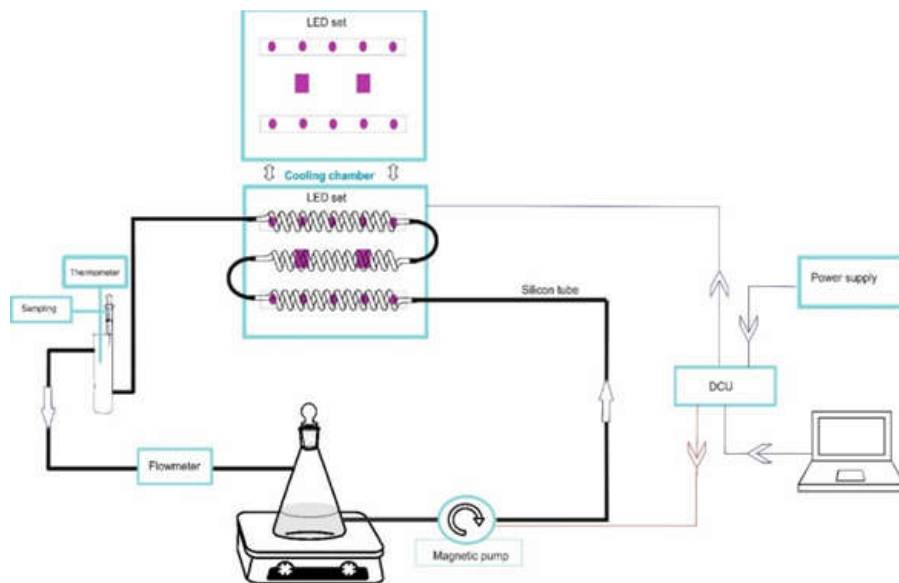
دستور کار جداسازی کاتالیزگرنوری P25/β-CD برای انجام آزمایش‌های شناسایی

برای این منظور مقدار ۰۰۰ گرم از سیکلودکسترين در ۳۰ میلی لیتر آب به طور کامل حل و سپس مقدار ۶۰ میلی گرم از تیتانیای تجاری P25 به آن اضافه شد. این محلول به مدت ۳ ساعت در مععرض لامپ LED ۲۰ وات با طول موج ۴۰۰ نانومتر قرار گرفت. سپس نانو ذرات فوق را سانتریفیوژ نموده و برای اطمینان از حذف سیکلودکسترين اضافي سه بار با آب (هر بار ۱۰ میلی لیتر) شستشو داده شد. این نانو ذرات P25/β-CD بعد از خشک شدن در دمای ۵۰ درجه سلسیوس به مدت ۱۰ ساعت برای بررسی‌های بعدی مورد استفاده قرار گرفت.

دستور کار بازیافت کاتالیزگرنوری P25 و P25/β-CD قابلیت استفاده مجدد نانو فتوکاتالیست P25 با ۵ سیکل آزمایش که هر سیکل ۵ ساعت بود در راکتور batch انجام گرفت. ابتدا ۱ میلی لیتر از محلول استوک ۲۰۰۰ میلی گرم بر لیتر ۲-۴ دی کلرو فنوکسی استیک اسید در ۵۰ میلی لیتر آب قطر ریخته شد و مقدار ۱ g/1 از این نانو ذره با حمام فracipot به مدت ۱۰ دقیقه در این محلول پخش گردید. بالن ژوژه محتوى مخلوط هتروژن روی استیرر قرار گرفت و لامپ LED با طول موج ۴۰۰ نانومتر و توان ۲۰ وات به همراه پمپ هوا به مدت ۵ ساعت نمونه مذکور را تحت تابش قرار داد. پس از گذشت ۵ ساعت، ۳ میلی لیتر نمونه با کمک صافی سرسنگی برداشت گردید و ۱ میلی لیتر از محلول استوک مجدداً به بالن ژوژه اضافه شد و پس از طی زمان ۵ ساعته دوم این روند مجدداً تا ۵ بار تکرار گردید. پس از اتمام سیکل ۵، سوسپانسیون موجود در لوله‌های فالکون ریخته شدند و سه بار سانتریفیوژ با دور ۵۰۰۰ rpm انجام شد تا نانو ذرات موجود از محلول جدا شوند سپس نانو ذرات در دمای اتاق خشک شدند و برای بررسی‌های بعدی آماده شدند. تمام مراحل ذکر شده در برای نانو ذرات P25/β-CD نیز طی واکنش‌های جداگانه‌ای انجام گرفت. راکتور نوری

با شینگ های سیلیکونی مخصوص جهت انتقال محلول واکنش به هم وصل شده‌اند. همچنین محلی برای نمونه‌برداری در زمان‌های مختلف در راکتور تعییه شده است. به منظور کنترل لحظه به لحظه تمامی پارامترهای مؤثر بر واکنش، راکتور به کامپیوتر متصل گردیده که با نرم‌افزار لب‌ویو برنامه‌نویسی شده است (شکل ۲).

روی یک برد آلومینیومی به صورت سری بسته شده و به عنوان یک مجموعه از رایانه دستور پذیر هستند و با یک منبع تغذیه تأمین می‌شوند. این دیودها با چسب سیلیکونی (با هدایت گرمایی بالا) به برد‌های آلومینیومی متصل می‌شوند و این برد‌ها با چسب سیلیکونی به بدنه‌ی آلومینیومی داخلی اتاقک نوردهی متصل شده‌اند. در این راکتور از لوله‌های مارپیچی پیر کس برای قسمت نوردهی استفاده شده است که



شکل ۲. شماتیک راکتور نوری با جریان پیوسته (flow)

نشان داده شده است. جدول ۱ نتایج حاصل از تشخیص خصوصیات فیزیکی سطح کاتالیزگر را نشان می‌دهد که بدین منظور از آنالیز تخلخل سنجی جهت اندازه‌گیری میزان تغیرات در مساحت سطح گونه‌های P25 و P25/β-CD استفاده شد (جدول ۱). از طرفی مطابق نتایج جدول ۱ مساحت سطح ویژه (SSA) نانو نور کاتالیزگر m^2/g , P25 ۷۰ و مساحت سطح ویژه همین نانو ذرات پس از ۵ سیکل متواლی به ۵۵ m^2/g کاهش یافت که نشان‌دهنده وجود تغیرات اندک در ساختار فیزیکی این نانو ذرات است.

تجزیه و تحلیل داده‌ها

جهت ارزیابی و پایش بازده تخریب نوری ۴۰۲-دی-کلروفونوکسیاستیک‌اسید، مقدار ۵ میلی‌لیتر از سوسپانسیون هر یک ساعت توسط فیلتر سرسرنگی (میلی پور، ۰/۲۲ میکرون) برداشت گردید تا نانو ذرات جامد قبل از آنالیز حذف شوند.

سپس برای تشخیص بازده تخریب آلاینده ۴۰۲-دی-کلروفونوکسیاستیک‌اسید، بازده جذب هر نمونه با اسپکتروفوتومتر UV-VIS در طول موج ۲۸۴ نانومتر (حداکثر پیک جذب ۴۰۲-دی کلروفونوکسیاستیک‌اسید) قرائت شد. در قسمت پایانی هر آزمایش غلظت محلول ۴۰۲-دی کلروفونوکسیاستیک‌اسید اولیه و نهایی (که در فرآیند تخریب نوری شرکت نموده) با یکدیگر مقایسه شده در صد تخریب طبق معادله‌ی (۱) محاسبه گردید:

$$(1) \quad \text{٪ تخریب} = \frac{C/C_0}{1 - C/C_0} \times 100$$

که در اینجا C_0 بیانگر مقدار جذب اولیه محلول ۴۰۲-دی-کلروفونوکسیاستیک‌اسید قبل از انجام واکنش تخریب نوری و C نشان‌دهنده مقدار جذب ثانویه محلول ۴۰۲-دی کلروفونوکسیاستیک‌اسید بعد از انجام واکنش تخریب نوری است.

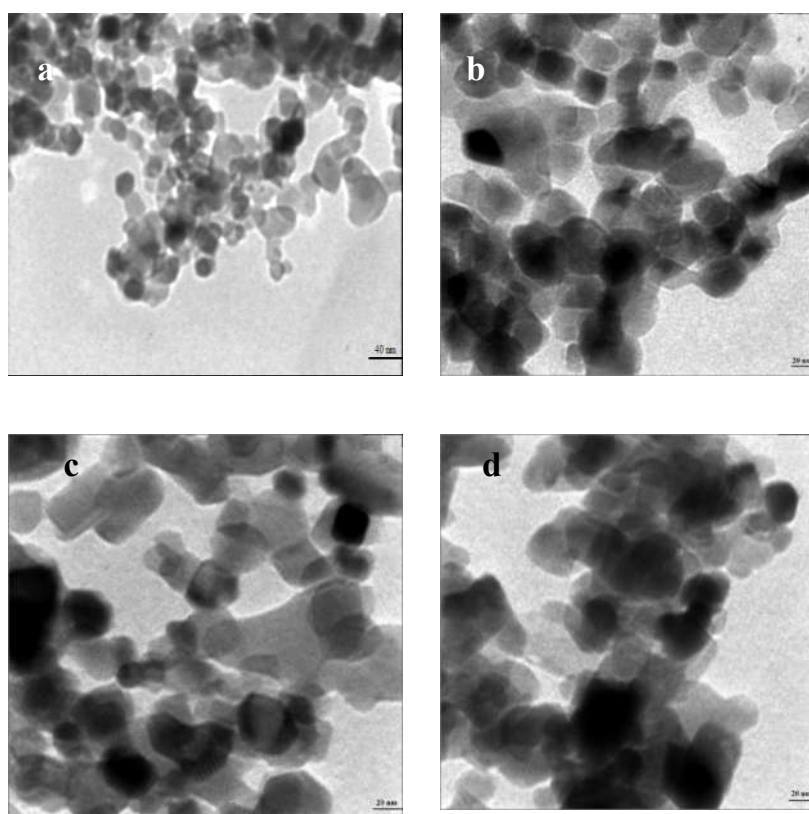
یافته‌ها

P25@β-CD

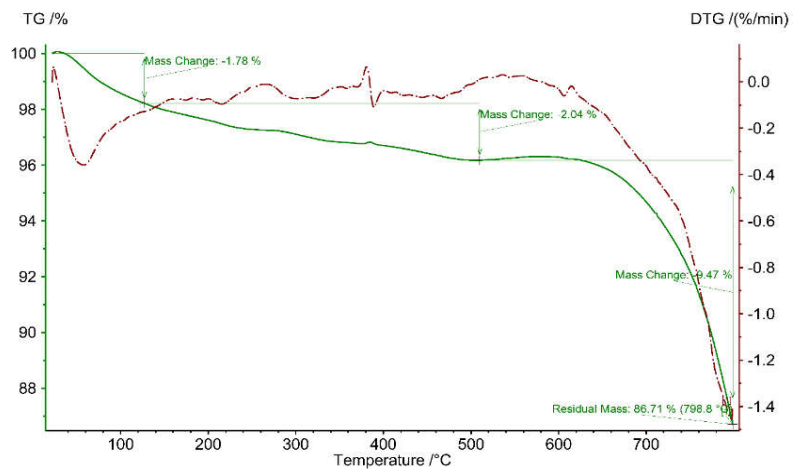
مشخصه یابی ساختاری نانو ذرات P25@β-CD پس از ستز نانو ذرات مقدار pH محلول ساخته شده اندازه-گیری شد. pH در ابتدا حدود ۷ و با گذشت زمان به ۴ تغییر کرد؛ بنابراین با گذشت زمان ترکیبی از P25/βCD در محلول واکنش ایجاد می‌شود (شکل ۳). نتایج حاصل از طیف میکروسکوپ الکترونی عبوری (TEM) نانو ذرات تجاری P25 و ستزی P25/βCD به ترتیب در شکل ۴ آمده است. بعلاوه نتایج حاصل از طیف آنالیز وزن سنجی حرارتی (TGA) و طیف نفوذی انعکاسی (DRS) نانو ذرات ستزی P25/βCD به ترتیب در شکل‌های ۵ و ۶



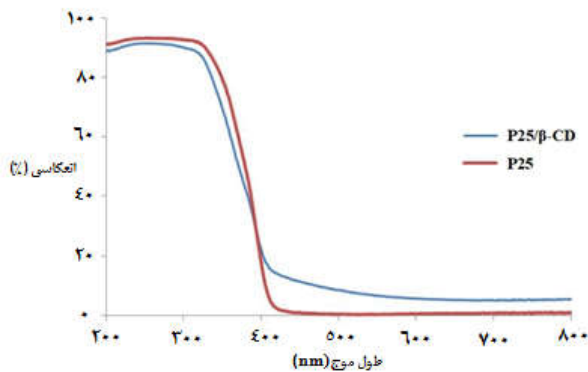
شکل ۳. اندازه‌گیری تغییرات اسیدیته محیط شامل تیتانیا و سیکلودکستربن تحت تابش LED در نتیجه پروتون‌زدایی از گروه‌های هیدروکسیل سیکلودکستربن روی سطح TiO_2



شکل ۴. تصاویر میکروسکوپ الکترونی نانونور کاتالیزگر (a)، P25 (b)، P25/ β -CD (c)، P25/ β -CD (d) (بعد از سیکل ۵) و P25/ β -CD (بعد از سیکل ۵)



شکل ۵. آنالیز وزن‌سنجی حرارتی (TGA) نانو نورکاتالیزگر P25/β-CD



شکل ۶. طیف نفوذی-انعکاسی نانونورکاتالیزگرهای P25 و P25/β-CD

جدول ۱. خصوصیات فیزیکو شیمیایی نانو کاتالیز گرهای نوری

نانوذرات	BET (m ² /g)	متوسط قطر حفرات (nm)	متوسط حجم حفرات (cm ³ /g)	
P25	۷۰	۳۷/۳	۱۳	
P25 (cycle 5)	۵۵	۳۲/۵	۱۲/۷	
P25/ β-CD	۴۶	۴۴/۳	۱۰/۸	
P25/ β-CD (cycle 5)	۴۹	۳۸/۷	۱۱/۴	

جدول ۲. تاثیر مقدار نانوذرات بر راندمان تغیر نوری ۴-۲و ۲-۴ دی کلروفنوکسی استیک اسید

(راکتور با جریان ناپیوسته، نوع لامپ: LED 20W 400nm، زمان تابش: ۱ ساعت)

ردیف	P25 (گرم بر لیتر)	β-CD (گرم بر لیتر)	تغیر نوری (درصد)
۱	۰/۵	-	۸
۲	۱	-	۳۴
۳	۲	-	۳۱
۴	۳	-	۲۱
۵	۴	-	۱۷
۶	۱	۰/۰۵	۱۵
۷	۱	۰/۱	۵۷
۸	۱	۰/۲	۵۵
۹	۱	۰/۳	۵۳
۱۰	۱	۰/۴	۴۹

جدول ۳. تاثیر نوع کاتالیز گر انتخابی بر راندمان تغیر نوری ۴-۲و ۲-۴ دی کلروفنوکسی استیک اسید

(راکتور با جریان ناپیوسته، نوع لامپ: LED 20W 400nm، زمان تابش: ۱ ساعت)

ردیف	نانوذرات	غلظت (گرم بر لیتر)	تغیر نوری (درصد)
۱	P25	۱	۳۴
۲	rutile	۱	بدون واکنش
۳	anatase	۱	بدون واکنش
۴	rutile/β-CD	۱	۲۰
۵	anatase/β-CD	۱	بدون واکنش

مقایسه با P25 یا P25/ β -CD تحت شرایط مشابه واکنش، بازده کمتری داشت.

اثر مقدار اولیه β -CD بر روی بستر نانو نورکاتالیزگر تأثیر مقدار اولیه β -CD با غلظت 0.05 g/L بر روی تخریب نوری $2\text{-}4\text{-D}\text{I}$ کلروفونوکسی استیک اسید ۲ مورد بررسی قرار گرفت. بر طبق نتایج حاصله، با افزایش غلظت β -CD از 0.05 g/L به 0.1 g/L بازده تخریب نوری $2\text{-}4\text{-D}\text{I}$ کلروفونوکسی استیک اسید در حدود ۴ برابر شد. هرچند با افزایش غلظت بیش از این مقدار، بازده تخریب نوری افت نمود. بر اساس نتایج به دست آمده، غلظت بهینه β -CD 0.1 g/L تعیین شد (جدول ۲).

اثر حضور بتا سیکلوكسترین بر بهبود بازده تخریب نوری $2\text{-}4\text{-D}\text{I}$ کلروفونوکسی استیک اسید نتایج حاصل از بررسی حضور بتاسیکلوكسترین بر فرآیند تخریب نوری $2\text{-}4\text{-D}\text{I}$ کلروفونوکسی استیک اسید در قالب نانو ذرات ستری P25/ β -CD نشان داد که پس از گذشت یک ساعت از فرآیند تخریب نوری، بازده تخریب با نانو نورکاتالیزگر P25 حدود ۳۴ درصد بود که در شرایط مشابه این بازده در حضور P25/ β -CD به ۵۷ درصد افزایش یافت (جدول ۴).

اثر دوز نانو نورکاتالیزگر

مطابق نتایج مندرج در جدول ۲، با افزایش دوز نانو ذره از 0.05 g/L به 1 g/L بازده تخریب در طی مدت زمان یک ساعت، تقریباً ۴ برابر شد و با افزایش دوز نانو کاتالیزگر به 4 g/L کاهش چشمگیری در بازده تخریب نوری ایجاد می‌شود. بالاترین بازده تخریب در دوز نانو ذره برابر با 1 g/L مشاهده شده است. لذا این مقدار به عنوان بهینه P25 انتخاب شد.

اثر انتخاب نانو نورکاتالیزگر

برای انتخاب بهترین بستر کاتالیستی، آزمایش‌هایی بر روی نانو فتوکاتالیزگرهای دی‌اکسید تیتانیوم فرم P25 و فرم آناتاز و فرم روتیل (با مقدار 1 g/L) در محلول آبی انجام شد. مطابق جدول ۳، هنگامی که از آناتاز و روتیل به عنوان نورکاتالیزگر استفاده شد، هیچ بازده تخریب نوری در مدت زمان ۱ ساعت در راکتور جریان ناپیوسته دیده نشد. در مورد نانو نورکاتالیزگر روتیل حتی با بهبود فعالیت نوری این نانو نورکاتالیزگر توسط βCD نیز موفقیتی در تخریب نوری حاصل نشد. و لیکن بازده تخریب نوری $2\text{-}4\text{-D}\text{I}$ -کلروفونوکسی استیک اسید با نانو نورکاتالیزگر- $\text{rutile}/\beta\text{-CD}$ در راکتور جریان ناپیوسته حدود ۲۰ درصد بود که در

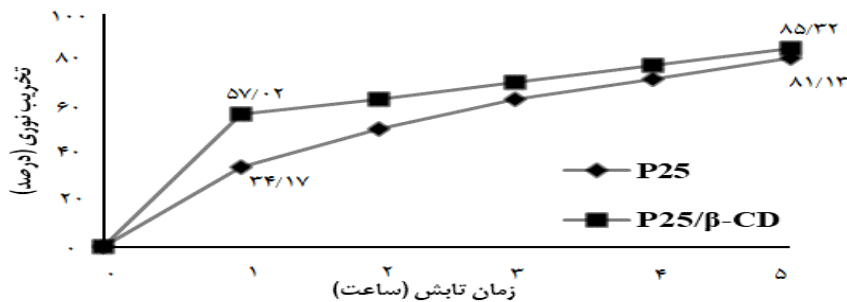
جدول ۴. مقایسه راندمان تخریب نوری $2\text{-}4\text{-D}\text{I}$ کلروفونوکسی استیک اسید با نانو فتوکاتالیزگرهای P25 و P25/ β -CD
(راکتور با جریان ناپیوسته، نوع لامپ: LED 20W 400nm، زمان تابش: ۱ ساعت)

ردیف	نانوذرات	غلظت نورکاتالیزگر (g/L)	تخرب نوری (%)
۱	P25	۱	۳۴
۲	P25/ β -CD	۱	۵۷

اثر زمان تماس

اسید حاصل نشد. لذا زمان تابش ۵ ساعت به عنوان زمان بهینه برای هر دو نانو نور کاتالیزگر انتخاب گردید.

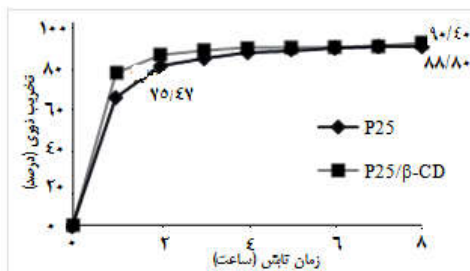
نتایج حاصل از تأثیر مدت زمان تابش در شکل ۷ به طور واضح، افزایش بازده تخریب را نشان می‌دهد. مطابق شکل مذکور طی مدت زمان ۵ ساعت بازده تخریب نوری نانو نور کاتالیزگرهای P25 و P25/ β CD به ترتیب ۸۱ و ۸۵ درصد بود. همچنین با افزایش مدت زمان تابش نور، افزایش قابل ملاحظه‌ای در بازده تخریب ۲۰۴-دی کلروفنوکسی استیک-ستیک-



شکل ۷. تخریب نوری ۲۰۴-دی کلروفنوکسی استیک-استیک (۵۰ mg/L) با نانو نور کاتالیزگر P25 (۵۰ mg) و P25/ β -CD (۵۵ mg) در راکتور نوری با جریان ناپیوسته (منبع تابش: LED با توان ۲۰ وات، طول موج ۴۰۰ نانومتر و شدت جذب ۱۰۰ mW/cm²)

مدت زمان ۵ ساعت از تابش نور به مخلوط واکنش این مقادیر به ترتیب به ۸۸/۸ و ۹۰/۴ درصد افزایش یافت. سپس با افزایش مدت زمان تابش نور، افزایش قابل ملاحظه‌ای در بازده تخریب ۲۰۴-دی کلروفنوکسی استیک-استیک در این راکتور حاصل نشد. لذا برای راکتور نوری جریان پیوسته نیز مدت زمان ۵ ساعت به عنوان زمان بهینه انتخاب گردید.

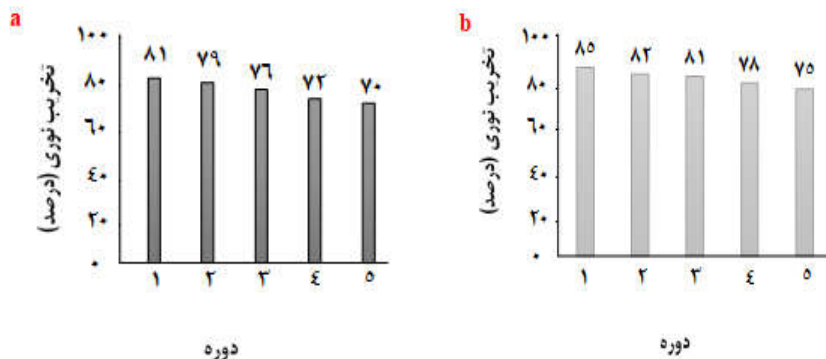
اثر نوع راکتور نوری در فرآیند تخریب نوری ۲۰۴-دی کلروفنوکسی استیک-استیک مطابق شکل ۸ طی مدت زمان یک ساعت بازده تخریب نوری ۲۰۴-دی کلروفنوکسی استیک-استیک در راکتور نوری P25 پیوسته در حضور نانو کاتالیزگر P25 و P25/ β -CD به ترتیب ۶۳ و ۷۵ درصد بود و پس از گذشت



شکل ۸. تخریب نوری ۲و۴-دی کلروفنوکسی استیک اسید (P25) با نانو نور کاتالیزگر (۵۰۰ mg/L) و β -CD (۵۵۰ mg) در راکتور نوری با جریان پیوسته (منع تابش: مجموع LED ها با توان ۱۰۰ وات، طول موج ۳۶۵ نانومتر و شدت جذب 100 mW/cm^2)

قابلیت استفاده مجدد نانو نور کاتالیزگر

مطابق نتایج شکل ۹ قابلیت استفاده مجدد نانو کاتالیزگرهای P25 و P25/β-CD در تخریب نوری ۲و۴-دی کلروفنوکسی-استیک اسید در راکتور نوری جریان ناپیوسته طی مدت زمان بهینه (۵ ساعت) به ترتیب ۸۲/۶ و ۸۴ درصد به دست آمد.



شکل ۹. بازیافت و کارایی نور کاتالیزگری (a) P25/β-CD (b) P25 در تخریب نوری ۲و۴-دی کلروفنوکسی استیک-اسید در محلول های آبی با لامپ LED با توان ۲۰ وات و طول موج ۴۰۰ نانومتر با شدت جذب 100 mW/cm^2 ۱ بعد از ۵ دوره در راکتور نوری با جریان ناپیوسته

بحث

دماهی حدود ۲۲۰ تا ۳۵۰ درجه سلسیوس نشان داد. میزان کاهش وزن تقریبی سیکلودکسترین بر روی سطح تیتانیا حدود ۱۲/۳ درصد محاسبه شد. در این راستا، مطابق با اطلاعات موجود در زمینه افزایش جذب نور مرئی توسط تیتانیای اصلاح شده با سیکلودکسترین(۲۳)، بررسی های لازم در مورد جذب نور کاتالیزگر P25/β-CD انجام شد. براساس شکل ۶ تفاوت اندکی در میزان جذب نور مرئی در مورد ترکیب P25/β-CD نسبت به تیتانیای تجاری قابل مشاهده است. این اندک تفاوت احتمالاً ناشی از برهمکنش های گروه های هیدروکسیل سیکلودکسترین با حفره های حاصل روی سطح تیتانیا با تابش نور مرئی خواهد بود؛ بنابراین پوشش سیکلودکسترینی همان طور که میزان پراکندگی تیتانیا را در آب افزایش می دهد، میزان توانایی جذب نور مرئی را نیز نسبت به حالت بدون حضور سیکلودکسترین افزایش خواهد داد. این افزایش هرچند اندک در توانایی جذب نور مرئی، در نهایت به بهبود کارآیی نور کاتالیزگری تیتانیا تجاری در تغیریب نوری ۲ و ۴-دی کلروفونوکسی استیک اسید منجر شد. حضور سیکلودکسترین بر روی سطح تیتانیا در نتیجه تابش نور خورشید سبب کاهش مساحت سطح تیتانیای تجاری خواهد شد. با این پیش فرض از آنالیز تخلخل سنجی به منظور اندازه گیری میزان تغییرات در مساحت سطح گونه های P25 و P25/β-CD استفاده شد. داده های مربوطه در جدول ۱ خلاصه شده است؛ همچنین بر اساس روش Brunauer- Emmett-Teller (BET) ساحت سطح ویژه P25/β-CD (۴۶ m²/g) بود که کمتر از مساحت سطح P25/β-CD است. کاهش نسبی مساحت سطح سیکلودکسترین بر روی سطح تیتانیا است. هرچند مساحت سطح ویژه P25/β-CD پس از ۵ سیکل متوالی تغییر چشمگیری نداشت (۴۹ m²/g) که نشان دهنده عدم تغییر در ساختار فیزیکی این نانو ذرات است.

برای بررسی شکل گیری نانو ذرات P25@βCD، تغییرات بازده pH محیط واکنش قبل و بعد از انجام واکنش سنتز نوری مورد آزمایش قرار گرفت. همان طور که در شکل ۳ مشاهده می شود پس از سنتز نانو ذرات- P25/β-CD، با اندازه گیری بازده pH محلول به طور تجربی، به ساخته شدن موقفيت آميز اين نانو ذرات پي برديم. انتظار مى رود اتصال سیکلودکسترین به سطح تیتانیا در نتيجه برهمکنش گروه های هیدروکسیل آن با تیتانیای برانگি�خته شده در سطح نور کاتالیزگر در اثر تابش خورشيد باشد. در واقع اين برهمکنش ها مى توانند در نتيجه تشکيل پيوند كوالانسي، جذب فيزيكي و يا تشکيل پيوندهای هيدروژني با سطح اكسيد فنزی صورت پذيرد. اين برهمکنش گروه های هیدروکسیل با سطح تیتانیا باعث جadasدن پروتون هيدروکسيلي سیکلودکسترين شده و افزایش اسیديته محیط pH را در پي خواهد داشت(۲۱)؛ بنابراین اندازه گيري محیط نيز تأييدي مناسب برای برقراری اين اتصال با سطح تیتانیا است. نتایج مشاهده شده مربوط به طيف ميكروسکوب الکتروني عبوری (TEM) در شکل ۴ (الف-د)، حاکی از اين مطلب است که در نانو ذرات تیتانیای تجاری و تیتانیا- سیکلودکسترین هیچ گونه تغيير شکل و تفاوت ساختاري وجود ندارد. از طرف ديگر مطابق نتایج شکل ۴ (ج و د) حتى پس از کاربرد نانو نور کاتالیزگر P25 و P25/β-CD در ۵ سیکل متوالی نيز تغييری در ساختار اين نانو ذرات مشاهده نشد که نشان از پايداري آنها در طی واکنش تغیریب نوری ۲ و ۴-دی کلروفونوکسی- استیک اسید است. اين نتایج با نتایج بررسی نانو ذرات هيريدی P25/β-CD مطابقت دارد(۲۲). از روش آناليز وزن سنجی حرارتی (TGA) به منظور تائید اتصال و حضور سیکلودکسترین بر روی سطح تیتانیا استفاده شد. در آناليز وزن سنجی حرارتی کاتالیزگر P25/β-CD يك کاهش وزن مربوط به حذف رطوبت در دماهی بین ۲۵-۱۳۰ TGA درجه سلسیوس مشاهده شد. همچنین بررسی گونه P25/β-CD تغیریب حرارتی سیکلودکسترین را در

آمده است که از طریق پیوند هماهنگ بین گروههای OH به تاسیکلودکسترن و اکسیژن موجود در دیاکسید تیتانیوم و متعاقب آن افزایش فعالیت کاتالیستی دیاکسید تیتانیوم قابل اثبات است (۲۸).

گزارش‌های ارائه شده در سال‌های اخیر نشان می‌دهد که استفاده از مولکول‌های میزبان بر روی سطح تیتانیا منجر به افزایش فعالیت نورکاتالیزگر TiO_2 خواهد شد با تابش نور خورشید و برانگیخته شدن نانو ذرات نیمه رسانای تیتانیا، زوج الکترون-حفره بر روی سطح آن تشکیل خواهد شد. حضور مولکول‌های سیکلودکسترن منجر به جذب و در نتیجه رشد نانو ذرات ترکیب $\text{TiO}_2/\beta\text{-CD}$ به صورت آب‌گریز سیکلودکسترنی در این ساختار منفذ دار جایگاه آب‌گریز سیکلودکسترنی در این ساختار منفذ دار جایگاه بسیار مناسبی برای ترکیبات آلی بوده و در نهایت سبب تخریب این گونه‌های آلی در آب خواهد شد (۲۹). اصلاح TiO_2 با تاسیکلودکسترن از طریق واکنش‌های بین گروه‌های هیدروکسیل به تاسیکلودکسترن و TiO_2 سبب قرارگیری ملکول‌های آلی در نزدیک سطح نورکاتالیزگر می‌شود که در نتیجه واکنش بین گروههای آلی با نورکاتالیزگر افزایش یافته و همچنین قابلیت بازتولید نورکاتالیزگر بهبود پیدا کند (۳۰). بررسی Zhang و همکاران (۲۰۰۹) نشان داد که اصلاح سیکلودکسترن تأثیر قابل توجهی در ساختار نانوکاتالیزگر فرم آناتاس دیاکسید تیتانیوم داشت و شدت جذب نوری $\text{TiO}_2/\beta\text{-CD}$ در مقایسه با TiO_2 به مراتب بهتر بود. لذا تاسیکلودکسترن می‌تواند بازده انتقال بار را از TiO_2 برانگیخته شده توسط نور به ملکول مهمان پذیرنده الکترون افزایش دهد (۲۷). Deng و همکاران (۲۰۰۴) نیز افزایش فعالیت نورکاتالیزگر TiO_2 را پس از اصلاح با تاسیکلودکسترن، در کلرید ایمی محلول رنگ تائید نمودند. آن‌ها ادعا کردند که تاسیکلودکسترن با تشکیل پیوند روی سطح TiO_2 و تشکیل کمپلکس، سبب واکنش بین آئیون‌های رنگ با سطح TiO_2 شده و تحت تابش نور گونه‌های فعال از TiO_2 تشکیل می‌شوند (۳۱).

اثر مقدار نانو نورکاتالیزگر مصرفی تأثیر دوز نانو نورکاتالیزگر بر تخریب نوری علف کش ۲۰۴-دی کلروفونوکسیاستیک اسید با مقدار اولیه P25 مورد بررسی قرار گرفت. مطابق نتایج حاصل از جدول ۲، مقدار بهینه نانو نورکاتالیزگر 1 g/L تعیین شد که متعاقب آن این مقدار نانو ذره در ساخت نانو نورکاتالیزگر با نسبت ۱:۱ انتخاب شد. همان‌طور که از نتایج مشخص شده است زمانی که مقدار نانو نورکاتالیزگر از حد مشخصی تجاوز کند بر بازده تخریب نوری اثر معکوس می‌گذارد. Achari و همکاران (۲۰۱۳) گزارش دادند که در صورت افزایش مقدار نانوکاتالیزگر P25، مقدار تابش نور در دسترس برای تخریب نوری کاهش می‌یابد و از طرفی افزایش مقدار نانوکاتالیزگر، سبب پراکندگی و انعکاس نور تابیده شده به آلاینده می‌گردد و بازدهی تخریب نوری را بشدت تحت تأثیر قرار می‌دهد (۱۲).

اثر مقدار اولیه $\beta\text{-CD}$ بر روی بستر نانو نورکاتالیزگر تأثیر مقدار اولیه $\beta\text{-CD}$ بر روی تخریب نوری ۲۰۴-دی-کلروفونوکسیاستیک اسید مورد بررسی قرار گرفت. مطابق جدول ۲ غلظت بهینه تاسیکلودکسترن، 0.1 g/L تعیین گردید. با افزایش غلظت بیش از این مقدار، بازده تخریب نوری افت می‌نماید. این امر ممکن است به دلیل کاهش سطح تماس P25 با آلاینده ۲۰۴-دی کلروفونوکسیاستیک-اسید به خاطر گرفتگی سطح کاتالیست با $\beta\text{-CD}$ باشد. در تائید این مطلب، Velusamy و همکاران (۲۰۱۳) گزارشی مبنی بر نسبت بهینه $\beta\text{-CD}$ به رنگ AY99 برابر ۱:۱ منتشر نمودند (۲۴).

اثر حضور تاسیکلودکسترن بر تخریب نوری حضور تاسیکلودکسترن روند تخریب نوری ۲۰۴-دی-کلروفونوکسیاستیک اسید را بهبود بخشید و بازده تخریب در مدت زمان ۵ ساعت افزایش یافت. بر اساس سایر گزارش‌ها، حضور تاسیکلودکسترن بر روی P25 سبب افزایش بازده فرآیندهای تخریب و اکسایش-کاهش می‌شود (۲۴-۲۶). جذب بتا سیکلودکسترن بر روی P25 به صورت تک‌لایه با ایزووترم جذب لانگمیر (۲۷) به دست

ستیک اسید در هر دو راکتور نوری، بازده تغیریب نوری در راکتور جریان پیوسته (شکل ۸) نسبت به راکتور جریان ناپیوسته (شکل ۷) میزان افزایشی نشان می‌دهد. نتایج به دست آمده از تأثیر راکتور نوری با جریان ناپیوسته در حذف آلانینده‌ها با مطالعات دیگر همخوانی دارد (۳۲-۳۵).

قابلیت استفاده مجدد از نانو نور کاتالیزگر یکی از موارد بسیار حیاتی در فرآیندهای نور کاتالیزگری بررسی بازده پایداری و کارایی نانو مواد در حین فرایندهای نوری کاتالیزگرهای بازیافت شده است (۳۶-۳۸). بر پایه اصول شیمی سبز، مهم‌ترین عوامل در فرآیندهای نور کاتالیزگری عبارت‌اند از بهبود کاتالیزوری و پایداری نانو ذرات در زمان تغیریب آلانیندهای آلی در محلول‌های آبی در پایان دوره تابش. برای مطالعه این موضوع، عملکرد نور کاتالیزگری P25 (شکل ۹ الف) و P25/β-CD (شکل ۹ ب) پس از ۵ دوره مورد بررسی قرار گرفت. پس از پایان مدت زمان ۵ سیکل، بازده تغیریب نوری ۲۰-۴-دی-کلروفونوکسی استیک اسید برای این دو نانو نور کاتالیزگر به ترتیب ۸۲/۶ و ۸۴ درصد بود. کاهش جزئی در بازده نور کاتالیزگری این نانو ذرات به دلیل از دست رفتن بخشی از نور کاتالیزگر در جریان فرآیند تغیریب نوری است (۳۹). همچنین تغیریب سیکلکلودکسترین در طول فرآیند نور کاتالیزگری تحت تابش LED نیز می‌تواند عامل دیگری از کاهش بازده تغیریب نوری در مرحله پنجم بازیافت باشد. این نتایج نشان‌دهنده فعالیت نور کاتالیزگری خوب این نانو ذرات پس از پنج دوره، است.

نتیجه‌گیری

تغیریب نوری علف کش ۲۰-۴-دی کلروفونوکسی استیک اسید در راکتور نوری جریان ناپیوسته تحت شرایط بهینه ۲۰ مقدار کاتالیست مصرفی ۱ g/L، لامپ LED توان ۴۰۰ وات و طول موج ۴۰۰ نانومتر، مدت زمان تابش ۵ ساعت با حضور نانو نور کاتالیزگرهای P25 و P25/β-CD دارای بازده تغیریب به ترتیب ۸۱ و ۸۵ درصد بود که نتایج نشان داد حضور بتاسیکلودکسترین بر روی P25 سبب افزایش

اثر زمان تماس

تأثیر زمان تماس بر بازده تغیریب علف کش ۲۰-۴-دی-کلروفونوکسی استیک اسید با استفاده از نانو نور کاتالیزگرهای P25 و P25/β-CD در راکتور جریان ناپیوسته مورد بررسی قرار گرفت که نتایج آن در شکل ۷ آمده است. بازده تغیریب نوری با افزایش زمان تابش، افزایش کمتری نسبت به ساعات اولیه واکنش دارد و این امر به دلیل حضور محصولات واسطه طی مدت زمان تغیریب و تبدیل ۴-۲-دی کلروفونوکسی استیک اسید به این محصولات واسطه است. لذا با افزایش زمان تابش، روابطی بین واکشگر و محصولات واسطه برای تغیریب اتفاق می‌افتد. همان‌طور که در شکل ۷ مشخص است بازده تغیریب نوری ۲۰-۴-دی-کلروفونوکسی استیک اسید در راکتور جریان ناپیوسته طی مدت زمان یک ساعت در حضور نانو نور کاتالیزگرهای P25 و P25/β-CD به ترتیب در حدود ۳۴/۲ و ۵۷/۲ درصد بوده در حالی که با طی مدت زمان ۵ ساعت از واکنش، بهره‌وری و بازده هر یک به ترتیب به ۸۱/۲ و ۸۵/۳ درصد افزایش یافته است. همان‌طور که مشاهده می‌شود نانو نور کاتالیزگرهای مذکور در یک ساعت اول سرعت تغیریب بالاتری نسبت به ساعات بعدی داشتند که ممکن است ناشی از عوامل زیر باشد: ۱- تبدیل آهسته کلرهای ماده آلی به ترکیبات کلردار اکسید شده معدنی ۲- غیرفعال شدن مکان‌های فعل نانو نور کاتالیزگر بر اثر رسوب زیاد محصولات جانبی مانند کربن و ...

اثر نوع راکتور نوری در تغیریب نوری علف کش ۲۰-۴-دی کلروفونوکسی استیک اسید

به منظور ارتقا سیستم‌های تغیریب نوری از مقیاس آزمایشگاهی به مقیاس صنعتی، استفاده از راکتورهای نوری جریان پیوسته مورد بررسی و آزمایش قرار می‌گیرد. در این مطالعه، اثر نوع راکتور در بازده تغیریب نوری ۲۰-۴-دی-کلروفونوکسی استیک اسید از طریق مقایسه راکتور جریان ناپیوسته و راکتور جریان پیوسته صورت گرفت. مطابق نتایج به دست آمده از تغیریب نوری ۲۰-۴-دی کلروفونوکسی-

این مطالعه، کاربرد این نانو نورکاتالیزگرها و نیز سایر کاتالیست‌ها در بررسی بازده تخریب نوری بر روی نمونه واقعی آب یا زهاب کشاورزی آلوده به علف کش مذکور می‌تواند مفید باشد.

تشکر و قدردانی

این مطالعه با حمایت‌های مادی و معنوی کمیته تحقیقات دانشجویی دانشگاه علوم پزشکی شهید صدوقی یزد انجام گردیده است. لذا نویسنده‌گان لازم می‌دانند بدین وسیله مراتب قدردانی و سپاسگزاری خود را از معاونت پژوهشی و سرپرست کمیته تحقیقات اعلام نمایند.

فعالیت نورکاتالیزگری دی‌اکسید تیتانیوم گردیده است. همچنین بازده تخریب نوری این آلانینه در راکتور نوری جریان پیوسته با حضور نانو نورکاتالیزگرهای P25 و P25/ β -CD در مدت زمان ۵ ساعت به ترتیب ۸۸/۸ و ۹۰/۴ درصد به دست آمد. لذا تخریب نوری ۲۰۴-دی-کلروفونوکسی‌استیک‌اسید در راکتور نوری جریان پیوسته در شرایط مشابه واکنش، بازده بالاتری نسبت به راکتور نوری جریان ناپیوسته نشان داد. قابلیت استفاده مجدد این نانو نورکاتالیزگرها بررسی شد و نتایج نشان داد که پس از ۵ بار استفاده متواالی در فرآیند تخریب نوری همچنان بازده تخریب بالایی دارند که نشان از عملکرد مناسب این نانو نورکاتالیزگرها دارد. جهت کاربردی نمودن نتایج حاصل از

منابع

- Khaniabadi YO, Basiri H, Nourmoradi H, Mohammadi MJ, Yari AR, Sadeghi S, et al. Adsorption of congo red dye from aqueous solutions by montmorillonite as a low-cost adsorbent. INT J CHEM REACT ENG. 2017;16(1).
- Madsen JD. Analysis of 2, 4-D and Endothall Residues from Michigan Drinking Water Wells. 2015.
- Han D, Jia W, Liang H. Selective removal of 2, 4-dichlorophenoxyacetic acid from water by molecularly-imprinted amino-functionalized silica gel sorbent. J Environ Sci (China). 2010;22(2):237-41.
- Tang L, Zhang S, Zeng G-M, Zhang Y, Yang G-D, Chen J, et al. Rapid adsorption of 2, 4-dichlorophenoxyacetic acid by iron oxide nanoparticles-doped carboxylic ordered mesoporous carbon. J Colloid Interface Sci. 2015;445:1-8.
- Tang Y, Luo S, Teng Y, Liu C, Xu X, Zhang X, et al. Efficient removal of herbicide 2, 4-dichlorophenoxyacetic acid from water using Ag/reduced graphene oxide co-decorated TiO₂ nanotube arrays. J Hazard Mater. 2012;241:323-30.
- Tang Y, Zhang G, Liu C, Luo S, Xu X, Chen L, et al. Magnetic TiO₂-graphene composite as a high-performance and recyclable platform for efficient photocatalytic removal of herbicides from water. J Hazard Mater. 2013;252:115-122.
- Han C, Yang M-Q, Weng B, Xu Y-J. Improving the photocatalytic activity and anti-photocorrosion of semiconductor ZnO by coupling with versatile carbon. Phys Chem Chem Phys. 2014;16(32):16891-903.
- Zhang N, Zhang Y, Yang M-Q, Xu Y-J. Progress on graphene-based composite photocatalysts for selective organic synthesis. Curr Org Chem 2013;17(21):2503-15.
- Gholami M, Farzadkia M, Zandsalimi Y, Sadeghi S, Abouee Mehrizi E. Efficacy of Cr doped ZnO nanoparticles in removal of reactive black 5 dye from aqueous solutions in presence of solar radiation. J Mazandaran Univ Med Sci 2016; 26: 59-69.

10. Zandsalimi Y, Sadeghi S, Reshadmanesh N, Gharamani E. Efficacy of photocatalytic removal of Chromium in the presence of organic matter from aqueous medium by using TiO₂ nanoparticles synthesized by sol gel. *Sci J Kurdistan Univ Med Sci.* 2018;22(6):84-95.
11. Ren L, Qi X, Liu Y, Huang Z, Wei X, Li J, et al. Upconversion-P25-graphene composite as an advanced sunlight driven photocatalytic hybrid material. *J Mater Chem.* 2012;22(23):11765-71.
12. Yu L, Achari G, Langford CH. LED-based photocatalytic treatment of pesticides and chlorophenols. *J Environ Eng (New York).* 2013;139(9):1146-51.
13. Djaoued Y, Brüning R, Bersani D, Lottici P, Badilescu S. Sol-gel nanocrystalline brookite-rich titania films. *Mater Lett.* 2004;58(21):2618-22.
14. Ohno T, Sarukawa K, Tokieda K, Matsumura M. Morphology of a TiO₂ photocatalyst (Degussa, P-25) consisting of anatase and rutile crystalline phases. *J Catal.* 2001;203(1):82-6.
15. Song X, Li Y, Wei Z, Ye S, Dionysiou DD. Synthesis of BiVO₄/P25 composites for the photocatalytic degradation of ethylene under visible light. *Chem Eng J.* 2017;314:443-52.
16. Gao Y, Li S, Li Y, Yao L, Zhang H. Accelerated photocatalytic degradation of organic pollutant over metal-organic framework MIL-53 (Fe) under visible LED light mediated by persulfate. *Appl Catal B.* 2017;202:165-74.
17. Hossieni S, Sadeghi S, Saghi MH, Ghadiri SK. Evaluation of photocatalytic process using GO/ZnO nanocomposites under LED irradiation for removal of Endocrine Disrupting Chemicals (EDCs) from aqueous solutions. *Sci J Kurdistan Univ Med Sci.* 2019;24(4):1-9.
18. Natarajan K, Bajaj HC, Tayade RJ. Photocatalytic efficiency of bismuth oxyhalide (Br, Cl and I) nanoplates for RhB dye degradation under LED irradiation. *J Ind Eng Chem.* 2016;34:146-56.
19. Tayade RJ, Natarajan TS, Bajaj HC. Photocatalytic degradation of methylene blue dye using ultraviolet light emitting diodes. *Ind Eng Chem Res.* 2009;48(23):10262-267.
20. Freitag M, Galoppini E. Molecular host-guest complexes: Shielding of guests on semiconductor surfaces. *Energy Environ Sci.* 2011;4(7):2482-94.
21. Lannoy A, Kania N, Bleita R, Fourmentin S, Machut-Binkowski C, Monflier E, et al. Photocatalysis of Volatile Organic Compounds in water: Towards a deeper understanding of the role of cyclodextrins in the photodegradation of toluene over titanium dioxide. *J Colloid Interface Sci.* 2016;461:317-25.
22. Chen X, Liu D, Wu Z, Cravotto G, Wu Z, Ye B-C. Microwave-assisted rapid synthesis of Ag-β-cyclodextrin/TiO₂/AC with exposed {001} facets for highly efficient naphthalene degradation under visible light. *Catal Commun.* 2018;104:96-100.
23. Du M-H, Feng J, Zhang S. Photo-oxidation of polyhydroxyl molecules on TiO₂ surfaces: From hole scavenging to light-induced self-assembly of TiO₂-cyclodextrin wires. *Phys Rev Lett.* 2007;98(6):066102.
24. Velusamy P, Pitchaimuthu S, Rajalakshmi S, Kannan N. Modification of the photocatalytic activity of TiO₂ by β-cyclodextrin in decoloration of ethyl violet dye. *J Adv Res.* 2014;5(1):19-25.
25. Zhang X, Wu F, Deng N. Efficient photodegradation of dyes using light-induced self assembly TiO₂/β-cyclodextrin hybrid nanoparticles under visible light irradiation. *J Hazard Mater.* 2011;185(1):117-23.
26. Deljoo S, Rabiee N, Rabiee M. Curcumin-hybrid nanoparticles in drug delivery system. *Asian j nanosci mater.* 2019;2(1):66-91.
27. Zhang X, Wu F, Wang Z, Guo Y, Deng N. Photocatalytic degradation of 4, 4'-biphenol in TiO₂ suspension in the presence of cyclodextrins: a trinity integrated mechanism. *J Mol Catal A Chem.* 2009;301(1-2):134-9.

28. Meksi M, Kochkar H. Penicillin G Adsorption Isotherms and Kinetic Studies Using TiO₂ Nanotubes Free and Modified with β -Cyclodextrin. *Chem Lett.* 2015;44(10):1289-91.
29. Sherje AP, Dravyakar BR, Kadam D, Jadhav M. Cyclodextrin-based nanospanges :a critical review. *Carbohydr Polym.* 2017;173:37-49.
30. Mohammadi A, Mousavi SH. Enhanced Photocatalytic Performance of TiO₂ by β -Cyclodextrin for the Degradation of Organic Dyes. *Water Environ Nanotechnol.* 2018;3(3):254-64.
31. Lu P, Wu F, Deng N. Enhancement of TiO₂ photocatalytic redox ability by β -cyclodextrin in suspended solutions. *Appl Catal B.* 2004;53(2):87-93.
32. Gao W, Zhang X, Su X, Wang F, Liu Z, Liu B, et al. Construction of bimetallic Pd-Ag enhanced AgBr/TiO₂ hierarchical nanostructured photocatalytic hybrid capillary tubes and devices for continuous photocatalytic degradation of VOCs. *Chem Eng J.* 2018;346:77-84.
33. Pajootan E, Rahimdoorkht M, Arami M. Carbon and CNT fabricated carbon substrates for TiO₂ nanoparticles immobilization with industrial perspective of continuous photocatalytic elimination of dye molecules. *J Ind Eng Chem.* 2017;55:149-63.
34. Petala A, Spyrou D, Frontistis Z, Mantzavinos D, Kondarides DI. Immobilized Ag₃PO₄ photocatalyst for micro-pollutants removal in a continuous flow annular photoreactor. *Catal Today.* 2019;328:223-9.
35. Sacco O, Sannino D, Vaiano V. Packed bed photoreactor for the removal of water pollutants using visible light emitting diodes. *Appl Sci (Basel).* 2019;9(3):472.
36. Li J, Ren Y, Ji F, Lai B. Heterogeneous catalytic oxidation for the degradation of p-nitrophenol in aqueous solution by persulfate activated with CuFe₂O₄ magnetic nano-particles. *Chem Eng J.* 2017;324:63-73.
37. Zhang W, Li G, Wang W, Qin Y, An T, Xiao X, et al. Enhanced photocatalytic mechanism of Ag₃PO₄ nano-sheets using MS2 (M= Mo, W)/rGO hybrids as co-catalysts for 4-nitrophenol degradation in water. *Appl Catal B.* 2018;232:11-8.
38. Luo R, Liu C, Li J, Wang J, Hu X, Sun X, et al. Nanostructured CoP: An efficient catalyst for degradation of organic pollutants by activating peroxymonosulfate. *J Hazard Mater.* 2017;329:92-101.
39. Teixeira S, Martins P, Lanceros-Méndez S, Kühn K, Cuniberti G. Reusability of photocatalytic TiO₂ and ZnO nanoparticles immobilized in poly (vinylidene difluoride)-co-trifluoroethylene. *Appl Surf Sci.* 2016;384:497-504.